

01; 09; 10

© 1990 г.

**ЛИНЕЙНОЕ УСИЛЕНИЕ ПОВЕРХНОСТНЫХ ВОЛН
РЕЛЯТИВИСТСКИМ ЭЛЕКТРОННЫМ ПОТОКОМ
В ДВУМЕРНОЙ ГРЕБЕНЧАТОЙ РЕЗОНАНСНОЙ
ЗАМЕДЛЯЮЩЕЙ СИСТЕМЕ С ТОНКИМИ ЛАМЕЛЯМИ¹**

И. Л. Вербицкий, А. Г. Рука

В самосогласованной постановке строго решается задача о линейном усилении поверхностных волн релятивистским электронным потоком в двумерной гребенчатой резонансной замедляющей системе. Приводится диаграмма Бриллюэна холодного двумерного гребенчатого волновода. Данна классификация всех поверхностных электронных волн в системе, исследуется поведение их фазовых скоростей и инкрементов неустойчивостей. Сравниваются результаты численного и аналитического решения дисперсионного уравнения электронных волн

Введение

1. Черенковскому взаимодействию релятивистского электронного потока (РЭП) со слабозамедленными поверхностными электромагнитными волнами в периодических замедляющих системах (ЗС) посвящен целый ряд теоретических и экспериментальных работ [1-13]. При этом наибольшее внимание уделялось автогенераторам, поскольку реализация релятивистских усилителей типа ЛБВ осложнялась [1] большим разбросом скоростей электронов в потоке, высоким уровнем собственных шумов РЭП, нестабильностью питающих напряжений и т. п. Однако достигнутый за последние годы прогресс в оптимизации источников электронов и электронно-оптических систем может поставить в ряд перспективных релятивистские усилители типа ЛБВ, которые до этого вследствие технологических трудностей казались неперспективными.

2. При создании усилителей СВЧ стремятся к обеспечению одномодового режима взаимодействия и получению на выходе усилителя волны с фиксированной и воспроизводимой структурой электромагнитного поля. Это накладывает ограничения на выбор ЗС, которая должна обладать выраженными резонансными свойствами, сильной дисперсией и достаточно малыми поперечными размерами — порядка длины волны в свободном пространстве λ .

Однако использование ЗС с малым поперечным сечением усиливает опасность возникновения СВЧ пробоя у стенок волновода и, следовательно, ограничивает уровни достижимых мощностей, уменьшает длительности СВЧ импульсов, заставляет вести работу при токах РЭП, близких к предельным, что в свою очередь приводит к неустойчивости РЭП [2].

3. Присущие одномодовым приборам ограничения во многом снимаются при переходе к широким электронным потокам, взаимодействующим с поверхностными волнами пространственно развитых электродинамических структур.

До настоящего времени наибольшее применение в релятивистских приборах электроники СВЧ получили цилиндрические диафрагмированные и гофрированные волноводы. Однако если пространственное развитие ЗС осуществлять за

¹ Работа докладывалась на VI Всесоюзном семинаре по релятивистской СВЧ электронике (Свердловск, 1989).

счет увеличения диаметра волновода [12], то селекция мод (выделение одной рабочей моды) становится при этом чрезвычайно сложной задачей.

В этой связи представляется перспективным применение в релятивистских ЛБВ пространственно развитых в поперечном направлении прямоугольных периодических резонансных волноводов с гладкими боковыми стенками и высотой поперечного сечения порядка λ . Это позволит, сохранив преимущества одномодовых приборов, уменьшить плотность потока энергии и снизить вероятность возникновения пристеночного пробоя.

Отметим также и другое преимущество планарной геометрии перед цилиндрической в релятивистских приборах электроники СВЧ. В импульсных РЭП трудно обеспечить полную зарядовую компенсацию пучка. В планарной же конфигурации вследствие близости металлических поверхностей к ленточному РЭП с обеих сторон вдвое сильнее, чем в случае цилиндрической геометрии, ослабляются собственные (кулоновские) поля электронного потока. Соответственно облегчается группировка частиц в сгустки и повышается стабильность пучка, что позволяет улучшить рабочие характеристики релятивистской ЛБВ.

4. Самосогласованное решение задачи о взаимодействии РЭП с полем мелко-гофрированных волноводов получено в работах [8–10]. В этих работах указывается, что при взаимодействии РЭП с полями плоского [8] и цилиндрического [8–10] гофрированных волноводов с малой глубиной гофра инкремент нарастания поля пропорционален $\delta^{7/8}$, где $\delta \ll 1$ — параметр модуляции гофра. По этой причине переход к ЗС с очень малой глубиной гофрировки сильно снижает КПД прибора и приводит к значительному увеличению его оптимальной длины [10]. Кроме того, слабогофрированные волноводы обладают слабо выраженными резонансными свойствами и слабой дисперсией.

Поэтому для умеренно релятивистских приборов СВЧ ($E < 500$ кэВ, где E — кинетическая энергия РЭП), когда электропрочность² не является определяющим фактором при выборе ЗС, представляет интерес исследование взаимодействия РЭП с глубокофрированной (диафрагмированной) резонансной ЗС, где нет малого параметра модуляции гофра. Методы, использованные в [8–10] и основанные на гипотезе Рэлея и разложении в ряд по малому возмущению границы, в этом случае неприменимы.

Строгое самосогласованное решение общей задачи о взаимодействии РЭП с резонансными ЗС в настоящее время отсутствует. Много практических расчетов было выполнено с помощью метода эквивалентных схем (см., например, [11, 13]), однако этот метод самосогласованным не является и тонких эффектов учесть не может. В известных работах (см., например, [4, 6, 7]), использующих полевые методы, в частности модифицированную теорию возбуждения периодических структур [14, 15], строгое самосогласованного решения задачи о взаимодействии РЭП с диафрагмированным волноводом получено не было.

В работах [6, 7] с помощью методики расчета более строгой, чем в [4], исследуется взаимодействие РЭП с полем цилиндрического диафрагмированного волновода с бесконечно тонкими и густыми ($d/\lambda \ll 1$, d — период ЗС) диафрагмами. Однако в случае слаботочного РЭП ($\chi \ll 1$, где $\chi = \omega_p^2/\omega^2$, ω_p — плазменная частота пучка) в [6] пренебрегают высокочастотным самодействием пучка и ограничиваются одноволновым приближением с заданной структурой вихревого поля, а при больших токах пучка коэффициенты депрессии сил пространственного заряда и связи вводятся из эмпирических соображений [7].

Поэтому строгое количественное решение задачи в самосогласованной постановке о взаимодействии РЭП с полем резонансной ЗС является по-прежнему актуальным.

² Вероятность пристеночных СВЧ пробоев в глубокофрированных и диафрагмированных волноводах может быть снижена [5] за счет снижения длительности импульса, поддержания высокого вакуума в системе, хорошей транспортировки пучка, сильного фокусирующего магнитного поля, специального выбора материалов и обработки поверхности ЗС, придания ребристым выступам округлой формы и т. д.

1. Постановка задачи

В настоящей работе асимптотически точно в самосогласованной постановке решается задача о линейном усилении поверхностных волн слаборелятивистским ($E \approx 400$ кэВ) ленточным электронным потоком в двумерной, достаточно частой гребенчатой резонансной ЗС с бесконечно тонкими ламелями (рис. 1).

Предполагается, что $A \sim \lambda$, где A — расстояние от гребенки до экрана. Рассматривается достаточно глубокая гребенка, обладающая сильной дисперсией и одной выделенной полосой пропускания ($0 \leq \beta_0 d \leq \pi$, где β_0 — продольное волновое число «холодной» основной пространственной гармоники).

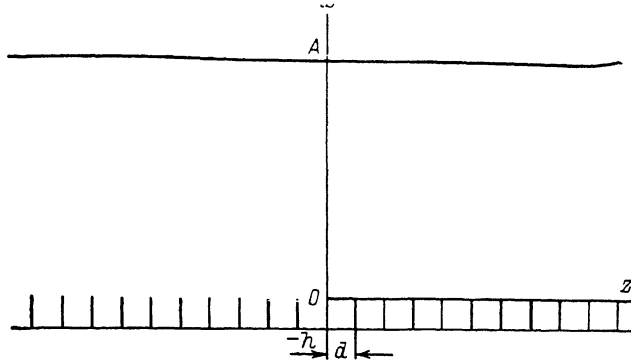


Рис. 1. Двумерная гребенчатая замедляющая система с бесконечно тонкими ламелями.

На вход ЗС поступают импульсный моноэнергетический однородный поток электронов, синхронный со слабозамедленной «холодной» основной пространственной гармоникой ЗС, и модулирующий пучок внешний СВЧ сигнал. Поскольку длительность импульсов обычно много больше времени пролета электрона, то задача решается как стационарная. Рассматривается случай скомпенсированного ионным фоном слаботочного ($\chi \ll 1$) прямолинейного (одномерного) пучка, замагниченного бесконечно большим продольным магнитным полем.

В работе исследуется режим усиления, характерный для односекционной релятивистской ЛБВ [8]: за счет увеличения глубины щелей гребенки точка синхронизма РЭП с «холодной» поверхностной основной пространственной гармоникой смещена по дисперсионной кривой от π -вида в сторону меньших частот. Потери в системе не учитываются.

2. Получение дисперсионного уравнения

Точное дисперсионное уравнение, описывающее распространение электронных волн E -типа в двумерной гребенчатой замедляющей системе с бесконечно тонкими ламелями, пронизываемой одномерным моноэнергетическим нерелятивистским ($v_e/c \ll 1$, v_e — невозмущенная скорость электронного потока) квазинейтральным плоским электронным потоком, получено методом разложения в [16, 17]

$$\det \|a_{mq}\| = 0, \quad m = 0, 1, 2, \dots; q = 0, \pm 1, \pm 2, \dots, \quad (1)$$

где

$$a_{mq} = \frac{\alpha_q (1 + \zeta_q) + \gamma_m \tanh(\gamma_m b)}{\alpha_q^2 - \gamma_m^2}, \quad (2)$$

$$\zeta_q = \frac{1}{n_q} \left\{ \frac{(n_q + 1) \operatorname{sh} \{\alpha_q [(n_q - 1)L + A]\} - (n_q - 1) \operatorname{sh} \{\alpha_q [(n_q + 1)L - A]\}}{(n_q + 1) \operatorname{ch} \{\alpha_q [(n_q - 1)L + A]\} - (n_q - 1) \operatorname{ch} \{\alpha_q [(n_q + 1)L - A]\}} \right\} - 1, \quad (3)$$

$$\alpha_q = \sqrt{\beta_q^2 - k^2}, \quad \beta_q = \beta_0 + \frac{2\pi q}{d}, \quad k = \frac{\omega}{c}, \quad (4)$$

β_0 — «горячее» продольное волновое число основной пространственной гармоники; β_q — «горячее» продольное волновое число q -й пространственной гармо-

моники; α_q — «горячее» поперечное волновое число q -й пространственной гармоники; k — волновое число в свободном пространстве; предполагается, что $| \operatorname{Re}\beta_0 | \leq \pi/d$;

$$\gamma_m = \sqrt{\left(\frac{m\pi}{d}\right)^2 - k^2} \quad (5)$$

— волновое число m -го типа колебаний в прямоугольном резонаторе, образованном смежными ламелями гребенки;

$$n_q = \sqrt{1 - \frac{\chi}{z_q^2}} \quad (6)$$

— показатель преломления пучка;

$$\begin{aligned} \chi &= \frac{\omega_p^2}{\omega^2}, \quad \omega_p^2 = \frac{4\pi e^2 n_e}{m_e}; \\ z_q &= 1 - \frac{\beta_q}{\beta_e}, \quad \beta_e = \frac{\omega}{v_e}; \end{aligned} \quad (7)$$

L — толщина электронного потока.

Учет релятивистских эффектов для прямолинейного (одномерного) электронного потока сводится к замене χ на $\chi_R = \chi \gamma^{-3}$, где $\gamma = (1 - (v_e^2/c^2))^{-1/2}$.

Для получения дисперсионного уравнения в замкнутой форме наложим на параметры гребенки и пучка следующие ограничения: 1) $\chi \ll 1$ (плотность пучка достаточно мала); 2) $e^{-2\gamma_1 h} \ll 1$ (гребенка достаточно глубокая); 3) $\chi^2 \ll 1$, где $\chi = kd/2\pi = d/\lambda$ (гребенка не очень редкая); 4) $e^{-\alpha_1 A} \ll 1$ (экран расположен достаточно далеко от гребенки); 5) $|z_0| \ll 1$ (пучок находится в «горячем» синхронизме с основной пространственной гармоникой: $\beta_e \approx \operatorname{Re}\beta_0$); 6) $L = A$ (пучок заполняет все пространство взаимодействия от гребенки до экрана).

Условия 2 и 4 выполняются соответственно при $h/d \geq 1/2$ и $A/d \geq 1/2$. Из условия 3 следует, что рассмотрение ограничено только теми случаями, когда в пространстве взаимодействия ($0 \leq x \leq A$) и в щели гребенки ($-h \leq x \leq 0$) может быть не больше одной незатухающей в поперечном направлении пространственной гармоники.

Воспользовавшись условиями 1—6, получим из (1) путем прямого вычисления детерминантов типа двойного альтернанта Коши [17] асимптотически точное дисперсионное уравнение электронных волн

$$t^+ + t^- \Omega + \frac{\zeta_0}{2} \{t^+[1 + T_0(\gamma_0)] + t^-[1 + T_0(-\gamma_0)]\Omega\} = 0, \quad (8)$$

где

$$t^\pm = 0.5 \left[1 \pm i \operatorname{tg} \left(2\pi \chi \frac{h}{d} \right) \right], \quad (9)$$

$$\begin{aligned} \Omega &= \left[\frac{a_0 - ix}{a_0 + ix} \right] \left[\frac{B(-ix)}{B(ix)} \right], \quad B(ix) = 2^{-2ix} \frac{\Gamma(1 - b_0 - ix)\Gamma(1 + b_0 - ix)}{\Gamma(1 - 2ix)}, \\ a_0 &= \frac{\alpha_0 d}{2\pi}, \quad b_0 = \frac{\beta_0 d}{2\pi}, \quad a_0 = \sqrt{b_0^2 - \chi^2}, \end{aligned} \quad (10)$$

$$\zeta_0 = \frac{1}{n_0} \operatorname{th} \left[2\pi \frac{A}{d} a_0 n_0 \right] - 1, \quad n_0 = \sqrt{1 - \frac{\chi_R}{z_0^2}}, \quad (11)$$

$$T_0(\pm \gamma_0) = \left[\frac{a_0 \mp ix}{a_0 \pm ix} \right] \frac{B(a_0)}{B(-a_0)}, \quad B(a_0) = 2^{-2a_0} \frac{\Gamma(1 - b_0 - a_0)\Gamma(1 + b_0 - a_0)}{\Gamma(1 - 2a_0)}. \quad (12)$$

Введем наряду с параметром «горячего» синхронизма $z_0 = 1 - (b_0/b_e)$ параметры «холодного» синхронизма $s_0 = 1 - (b_e/b_0)$ ($b_0^0 = \beta_0^0 d / 2\pi$) и резонансного взаимодействия $\tau_0 = 1 - (b_0/b_0^0)$, которые связаны зависимостью

$$\tau_0 = z_0 + s_0 - z_0 s_0. \quad (13)$$

Воспользовавшись определениями z_0 , s_0 и τ_0 , получим для релятивистского фактора γ и показателя преломления пучка n_0 следующие выражения:

$$\gamma = \left[1 - \frac{x^2}{b_0^2 (1 - s_0)^2} \right]^{-1/2}, \quad (14)$$

$$n_0 = \left[1 - \frac{\chi \gamma^{-2} (1 - s_0)^2}{(1 - b_0/b_0^2 - s_0)} \right]^{1/2}. \quad (15)$$

Далее будем рассматривать случай резонансного взаимодействия $|\tau_0| \ll 1$, когда одновременно с условием «горячего» синхронизма $|z_0| \ll 1$ выполняется также условие «холодного» синхронизма $|s_0| \ll 1$. Тогда в режиме слабого замедления $b_0^2 > 0$ имеем $|a_0|^2 \ll 1$.

Преобразуем (8) к более удобному для анализа виду, а также, во спользование условиями $x^2 \ll 1$ и $|a_0|^2 \ll 1$, упростим (10) и (12)

$$\frac{\tanh \left[2\pi \frac{A}{d} a_0 n_0 \right]}{n_0} + \left[\frac{W-1}{W+1} \right] = 0, \quad (16)$$

где

$$W = \frac{t^+ + t^- \Omega}{t^+ T_0(\gamma_0) + t^- T_0(-\gamma_0) \Omega}, \quad (17)$$

$$\Omega \approx \left[\frac{a_0 - ix}{a_0 + ix} \right] \left[\frac{1 + 2ixf(b_0)}{1 - 2ixf(b_0)} \right], \quad (18)$$

$$T_0(\pm \gamma_0) \approx \left[\frac{a_0 \mp ix}{a_0 \pm ix} \right] \left[\frac{1 - 2a_0 f(b_0)}{1 + 2a_0 f(b_0)} \right], \quad (19)$$

$$f(b_0) = \frac{1}{2} [\psi(1 + b_0) + \psi(1 - b_0)] + C + \ln 2, \quad (20)$$

$\psi(z) = (\Gamma'(z))/(\Gamma(z))$ — дигамма-функция Эйлера, $C \approx 0.5772$ — постоянная Эйлера.

При численном решении уравнения (16) удобно воспользоваться разложением для дигамма-функций вида $\psi(1 + z)$ через дзета-функции Римана $\zeta(n)$ [18]

$$\begin{aligned} \psi(1 + b_0) &= -C + \sum_{n=2}^{\infty} (-1)^n \zeta(n) b_0^{n-1} \text{ при } |b_0| < 1, \\ f(b_0) &= \ln 2 + 0.5 \cdot \sum_{n=2}^{\infty} [(-1)^n - 1] \zeta(n) b_0^{n-1}. \end{aligned} \quad (21)$$

3. Численное решение дисперсионного уравнения

Для решения дисперсионного уравнения (16) необходимо знать дисперсионную зависимость $x = x(b_0)$ холодного двумерного гребенчатого волновода, удовлетворяющую условиям 2—4. В работе [19] при предположениях 2—4 получено дисперсионное уравнение холодного двумерного гребенчатого волновода с бесконечно тонкими ламелями

$$e^{4\pi a_0^2 \frac{A}{d}} = \frac{B(a_0^2)}{B(-a_0^2)} \left[\frac{a_0^2 - 2x^2 f(b_0) + \xi(1 + 2a_0 f(b_0))}{a_0^2 + 2x^2 f(b_0) - \xi(1 - 2a_0 f(b_0))} \right], \quad (22)$$

где

$$\frac{B(a_0^2)}{B(-a_0^2)} = 2^{-4a_0^2} \frac{\Gamma(1 - b_0 - a_0^2) \Gamma(1 + b_0 - a_0^2) \Gamma(1 + 2a_0^2)}{\Gamma(1 - b_0 + a_0^2) \Gamma(1 + b_0 + a_0^2) \Gamma(1 - 2a_0^2)}, \quad (23)$$

$$\xi = x \operatorname{tg} \left[2\pi x \frac{h}{d} \right]. \quad (24)$$

Поскольку $0 \leq b_0^2 \leq 1/2$, $|a_0^2|^2 \ll 1$, то при численном решении уравнения (22) для вычисления гамма-функций вида $\Gamma(1 + z)$ удобно воспользоваться следующим разложением [18]:

$$\ln \Gamma(1 + z) = [-\ln(1 + z) + z(1 - C)] + \sum_{n=2}^{\infty} (-1)^n [\zeta(n) - 1] \frac{z^n}{n}, \quad |z| < 2. \quad (25)$$

На рис. 2 представлена диаграмма Бриллюэна $\chi = \chi(b_0^0)$ для медленных волн, полученная из численного решения (22) при $A/d=8$, $h/d=1$. На рис. 2 кривая 1 является кривой «скольжения», на которой выполняется условие $b_0^0 = \chi$ и которая отделяет область быстрых (объемных) волн ($b_0^0 < \chi$) от области медленных (поверхностных) волн ($b_0^0 > \chi$). Кривая 2 — дисперсионная кривая $\chi = \chi(b_0^0)$.

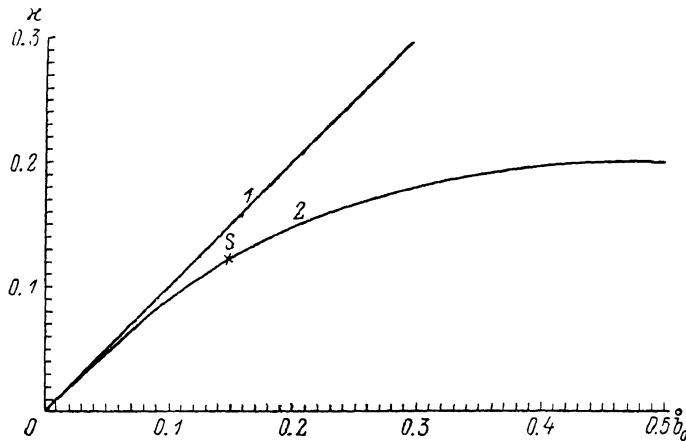


Рис. 2. Диаграмма Бриллюэна.

Точка синхронизма S ($b_0^0=0.145$, $\chi \approx 0.120$) на дисперсионной кривой выбрана таким образом, чтобы при точном «холодном» синхронизме РЭП с «холодной» основной пространственной гармоникой $v_s = v_{\phi 0}^0$, где $v_{\phi 0}^0$ — фазовая скорость «холодной» основной пространственной гармоники (пучок обладал бы кинетической энергией) (E (кэВ)= $511/(1-\chi^2/b_0^{02})^{1/2}$ —511), равной 400 кэВ, которая характерна для слаборелятивистских одномодовых ЛВВ с диафрагмированными замедляющими системами [1, 2]. Релятивистский фактор при этом $\gamma \approx 1.78$.

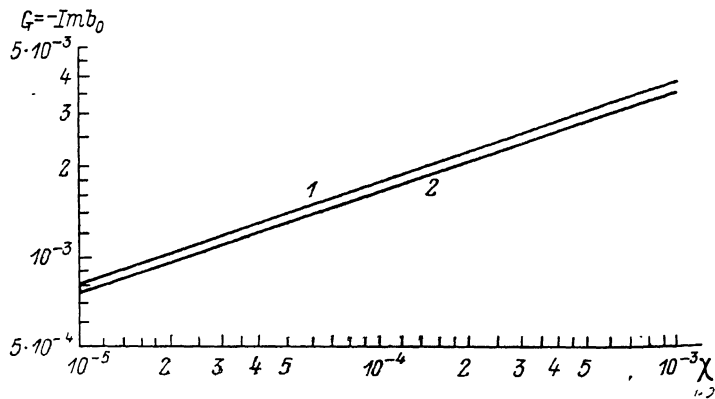


Рис. 3.

Таким образом, при выбранных значениях параметров A/d и h/d получается $A/\lambda \approx 0.96$, $A+h/\lambda \approx 1.08$, $h/\lambda \approx 0.120$.

На рис. 3 кривая 2 — это зависимость нормированного инкремента нарастания $G = -\text{Im } b_0$ от параметра χ , полученная из численного решения трансцендентного дисперсионного уравнения (16) при $A/d=8$, $h/d=1$, $b_0^0=0.145$ и $\chi \approx 0.120$.

Зависимость инкремента нарастания G от χ , построенная в логарифмическом масштабе, представляет собой прямую с угловым коэффициентом, равным $1/3$, следовательно, $G \sim \chi^{1/3}$, что согласуется с предсказаниями теории о поведении инкремента нарастания в середине полосы пропускания ЗС. Поверхностная электронная волна, инкремент нарастания которой представлен кривой 2

на рис. 3, является медленной $v_{\phi 0} < v_e$, где $v_{\phi 0} = \omega / R e \beta_0$ — фазовая скорость «горячей» основной пространственной гармоники. С ростом χ фазовая скорость этой волны несколько уменьшается $\chi = 10^{-5}$, $\text{Re } b_0 \geq 0.145$; $\chi = 10^{-4}$, $\text{Re } b_0 \approx 0.146$; $\chi = 10^{-3}$, $\text{Re } b_0 \approx 0.147$.

Рис. 4 иллюстрирует влияние рассинхронизма на величину инкрементов неустойчивых поверхностных электронных волн и величину фазовой скорости трех прямых парциальных поверхностных электронных волн, распространяющихся в рассматриваемой системе. Все кривые получены численным решением трансцендентного дисперсионного уравнения (16) при $A/d=8$, $h/d=1$, $b_0^0 = 0.145$, $\chi \approx 0.120$, $\chi = 10^{-4}$ в режиме слабого замедления $b_0^0 \gg \chi$.

Все фазовые скорости волн измеряются по отношению к скорости РЭП v_e . Кривая 1 представляет зависимость $v_e/v_{\phi 0}$ от $v_e/v_{\phi 0}^0$ для двух неустойчивых парциальных электронных волн: одной — нарастающей, другой — затухающей.

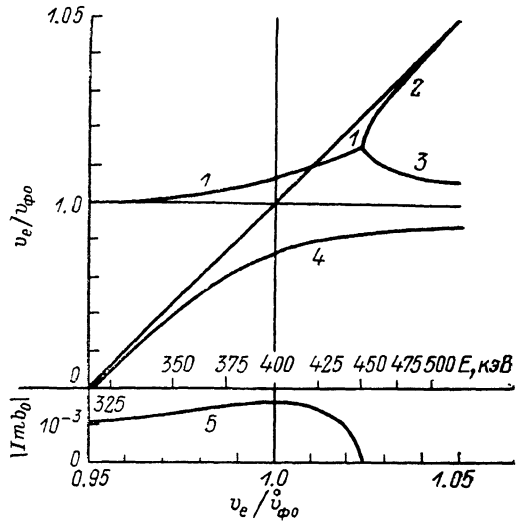


Рис. 4. Фазовая диаграмма. Режим слабого замедления.

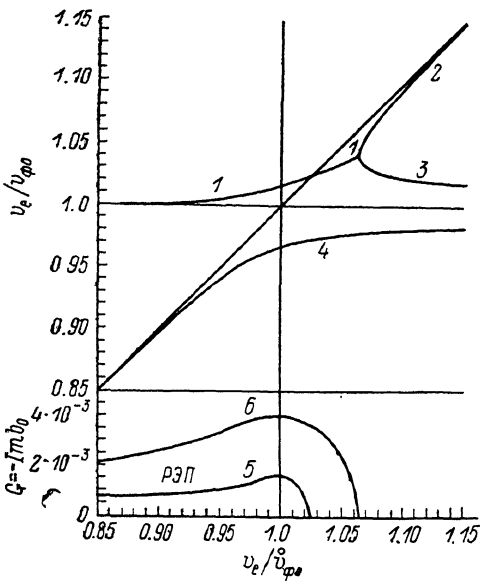


Рис. 5. Фазовая диаграмма. Режим сильного замедления.

Из поведения кривой 1 видно, что фазовая скорость неустойчивых электронных волн при выбранных значениях параметров меньше скорости РЭП $v_{\phi 0} < v_e$. Абсолютные величины инкрементов $G = -\text{Im } b_0$ неустойчивых электронных волн представлены кривой 5. Кривые 2, 3 и 4 представляют зависимости $v_e/v_{\phi 0}^0$ от $v_e/v_{\phi 0}^0$ для трех прямых парциальных электронных волн постоянной амплитуды. Электронные волны, которым соответствуют кривые 3 и 4 при $v_e/v_{\phi 0}^0 \geq 1.05$, естественно называть соответственно медленной и быстрой волнами пространственного заряда. Для удобства над осью абсцисс $v_e/v_{\phi 0}^0$ на рис. 4 приведена шкала, цифры на которой обозначают величину кинетической энергии РЭП.

Кривые на рис. 5 аналогичны кривым на рис. 4, но получены численным решением характеристического уравнения (полином четвертой степени) (26а) из [17] при $A=L=\infty$, $b_0^0=0.145$, $\chi=10^{-4}$ в режиме сильного замедления $b_0^{02} \gg \chi^2$. Кривая 6 — зависимость инкремента нарастания от $v_e/v_{\phi 0}^0$ в режиме сильного замедления, полученная численным решением (26а) из [17]. Кривая 5 — зависимость инкремента нарастания от $v_e/v_{\phi 0}^0$ в режиме слабого замедления, полученная численным решением (16).

Из сравнения кривых 5 и 6 видно, что в релятивистской ЛБВ имеет место значительное сужение допустимого интервала расстроек скоростей. Уменьшение эффективности усиления в релятивистской ЛБВ связано с увеличением массы частиц электронного потока.

4. Аналитическое решение дисперсионного уравнения

Упростим для аналитического решения трансцендентное дисперсионное уравнение (16). Подставляя (18), (19) в (17) и пренебрегая членами порядка 0 (x^2) по сравнению с единицей, получим

$$W \approx \frac{a_0 - \xi + 2b_0^2 f(b_0)}{a_0 + \xi - 2b_0^2 f(b_0)}. \quad (26)$$

В случае слабого замедления $b_0^0 \geq x$ из условия резонансного взаимодействия $|\tau_0| \ll 1$ следует, что $|b_0|^2 = 0$ (x^2). Тогда, пренебрегая в ряде (21) членами порядка 0 (x^2), малыми по сравнению с $\ln 2$, получим $f(b_0) \approx \ln 2$. Далее в силу поверхностного характера рассматриваемых волн пренебрежем влиянием экрана и ограничимся исследованием случая полуограниченного РЭП ($A=L=\infty$). Тогда с учетом сделанных выше упрощений уравнение (16) примет следующий вид:

$$\frac{1}{n_0} = \frac{\xi - 2b_0^2 \ln 2}{a_0}. \quad (27)$$

Для решения (27) получим из (22) дисперсионную зависимость $x=x(b_0^0)$ для холодной открытой ($A=\infty$) гребенки в случае слабого замедления ($b_0^0 \geq x$). При $b_0^0 \geq x$ имеем $a_0^{02} \ll 1$, поэтому первый фактор в правой части уравнения (22) представим в виде

$$\frac{B(a_0^0)}{B(-a_0^0)} \approx \frac{1 - 2a_0^0 \ln 2}{1 + 2a_0^0 \ln 2}. \quad (28)$$

Подставляя (28) в (22) и полагая $A=\infty$, получим дисперсионное уравнение слабозамедленных собственных волн гребенки

$$a_0^0 - \xi + 2b_0^{02} \ln 2 = 0. \quad (29)$$

Подставляя ξ из (29) в (27), после некоторых преобразований получим алгебраическое характеристическое уравнение шестой степени

$$(z_0^2 - \chi_R)[a_0^0 + 2b_0^{02} \ln 2 (2\tau_0 - \tau_0^2)]^2 = z_0^2 a_0^2. \quad (30)$$

Однако у этого уравнения половина корней должна быть лишней, так как оно эквивалентно квадрату уравнения (27). Введем для удобства малый параметр $\epsilon = (c/v_{\phi 0}^0) - 1 = (b_0^0/x) - 1$, где $\epsilon > 0$, поскольку $b_0^0 \geq x$. Выразим продольные и поперечные волновые числа через параметр ϵ

$$\begin{aligned} b_0^0 &\approx x(1 + \epsilon), \quad b_0 \approx b_0^0(1 - \tau_0), \\ a_0^0 &\approx x\sqrt{2\epsilon}, \quad a_0 \approx x\sqrt{2(\epsilon - \tau_0 - 2\epsilon\tau_0)}. \end{aligned} \quad (31)$$

Воспользовавшись определением ϵ и формулами (31), приведем (30) к виду

$$(z_0^2 - \chi_R)[\sqrt{2\epsilon} + 2x(2\tau_0 - \tau_0^2) \ln 2]^2 = 2z_0^2(\epsilon - \tau_0 - 2\epsilon\tau_0). \quad (32)$$

Отбрасывая в (32) τ_0^2 по сравнению с $2\tau_0$, получим уравнение четвертой степени

$$(z_0^2 - \chi_R)[\sqrt{\epsilon} + 2\sqrt{2}x\tau_0 \ln 2]^2 = z_0^2(\epsilon - \tau_0 - 2\epsilon\tau_0). \quad (33)$$

Приведем в (33) подобные члены и пренебрежем величиной $(8\tau_0 x^2 \ln 2)$ по сравнению с единицей

$$z_0^2 \tau_0 (1 + 2\epsilon + 4x\sqrt{2\epsilon} \ln 2) = \chi_R (\sqrt{\epsilon} + 2\sqrt{2}x\tau_0 \ln 2)^2. \quad (34)$$

Для исследования (34) найдем связь между параметрами ϵ , s_0 и γ . При условии $\gamma^2 \gg 1$ имеем

$$\epsilon \approx s_0 + \frac{0.5}{\gamma^2}. \quad (35)$$

Путем верификации решения уравнения (34) легко установить, что всегда выполняется неравенство

$$\sqrt{\epsilon} \gg 2\sqrt{2} \times |\tau_0| \ln 2. \quad (36)$$

Предположение о неравенстве, обратном (36), приводит к противоречию. Учитывая (36), получим из (34)

$$z_0^2 \tau_0 \approx \frac{\epsilon}{1 + 2\epsilon} \chi_R \approx \epsilon \chi_R. \quad (37)$$

Уравнение (37) совпадает с характеристическим уравнением из [20], полученным отличным от рассмотренного выше методом. Подставив (35) в (37), получим кубическое алгебраическое характеристическое уравнение

$$z_0^2 \tau_0 \approx \left(s_0 + \frac{0.5}{\gamma^2} \right) \chi_R. \quad (38)$$

Рассмотрим решение уравнения (38) в наиболее интересном режиме слабого рассинхронизма $|s_0| \ll 0.5/\gamma^2$. Учитывая, что $\tau_0 = z_0 + s_0 - z_0 s_0 \approx z_0 + s_0$ и $\chi_R = -\chi \gamma^{-3}$, преобразуем (38) к следующему виду:

$$(\tau_0 - s_0)^2 \tau_0 = \frac{\chi}{2\gamma^5}. \quad (39)$$

При $|s_0| \gg |\tau_0|$ усиления нет. При $s_0=0$ нормированный инкремент нарастания равен

$$G = -\text{Im } b_0 = \frac{\sqrt{3}}{2} b_0^0 \left(\frac{\chi}{2} \right)^{1/3} \gamma^{-5/3}. \quad (40)$$

Аналитическая зависимость (40) инкремента нарастания G от χ при $A=L=\infty$, $b_0^0=0.145$ и $\gamma \approx 1.78$ ($E=400$ кэВ) представлена кривой 1 на рис. 3. Из рис. 3 видно, что аналитическая кривая 1 близка к кривой 2, полученной из численного решения уравнения (16) при $A/d=8$, $h/d=1$, $b_0^0=0.145$, $\chi \approx 0.120$, $\gamma \approx 1.78$. Небольшое различие между кривыми 1 и 2 может быть объяснено тем, что при аналитическом решении полагали $A=L=\infty$, тогда как при численном решении считали, что $A=L$, $A/d=8$.

Найдем из (39), при каком значении s_0 наступает срыв усиления. Положив $\tau_0 = \bar{\tau}_0 (\chi/2\gamma^5)^{1/3}$, $s_0 = \bar{s}_0 (\chi/2\gamma^5)^{1/3}$, обезразмерим уравнение (39)

$$(\bar{\tau}_0 - \bar{s}_0)^2 \bar{\tau}_0 = 1. \quad (41)$$

Дискриминант приведенного кубического уравнения, полученного из (41), равен $D = 1 - (\bar{s}_0^3/27)$. Условие наличия усиления $D > 0$ выполняется при $\bar{s}_0 < \sqrt[3]{3} (\chi/2)^{1/3} \gamma^{-5/3}$.

Из верификации полученных результатов следует, что они справедливы при $\chi \ll 0.1/\gamma$. Это условие выполняется для всех приведенных в работе расчетов.

5. Определение коэффициентов связи и депрессии сил пространственного заряда

Для определения коэффициентов связи $K_0^{\text{св}}$ и депрессии Γ_0 рассмотрим характеристическое уравнение четвертой степени электронных волн в периодических структурах [14]. Отбрасывая члены более высокого порядка малости, чем χ , перепишем это уравнение в наших обозначениях в виде

$$\tau_0 (2 - \tau_0) [z_0^2 - \Gamma_0 \chi_R] - K_0^{\text{св}} \chi_R = 0. \quad (42)$$

Приведем уравнение (33) к виду (42). Воспользовавшись условием (36), получим

$$z_0^2 \tau_0 [1 + 2\epsilon + 2x(2 - \tau_0) \sqrt{2\epsilon} \cdot \ln 2] - \epsilon \chi_R = 0. \quad (43)$$

Из (43) следует, что в первом приближении

$$z_0^2 \tau_0 \approx \frac{\varepsilon}{1 + 2\varepsilon} \chi_R. \quad (44)$$

Учитывая (44), преобразуем (43)

$$\tau_0 (2 - \tau_0) \left[\frac{z_0^2}{(2 - \tau_0)} + z_0^2 \frac{2\pi \sqrt{2\varepsilon} \ln 2}{1 + 2\varepsilon} \right] - \frac{\varepsilon}{1 + 2\varepsilon} \chi_R = 0, \quad (45)$$

где

$$\frac{z_0^2}{(2 - \tau_0)} \approx \frac{z_0^2}{2} + \frac{z_0^2 \tau_0}{4} \approx \frac{z_0^2}{4} + \frac{1}{4} \frac{\varepsilon}{(1 + 2\varepsilon)} \chi_R. \quad (46)$$

Подставим (46) в (45)

$$\tau_0 (2 - \tau_0) \left[z_0^2 - \left(-\frac{\varepsilon}{2} \right) \chi_R \right] - (2\varepsilon) \chi_R \approx 0. \quad (47)$$

Сравнивая (47) с (42), получим ³

$$K_0^{\text{св}} \approx 2\varepsilon, \quad \Gamma_0 \approx -\frac{\varepsilon}{2}. \quad (48)$$

Таким образом, при уменьшении замедления основной пространственной гармоники ($v_{\phi 0}^0 \rightarrow c$) имеем $K_0^{\text{св}} \rightarrow 0$ и $\Gamma_0 \rightarrow 0$. Это согласуется с физическими представлениями о том, что при $v_{\phi 0}^0 \rightarrow c$ структура замедленной волны E -типа приближается к структуре плоской поперечной волны, слабо взаимодействующей с электронным потоком и замедляющей системой.

Заключение

Полученные в данной работе результаты численного исследования и асимптотически точные аналитические результаты хорошо согласуются и могут представлять интерес для создания планарных ЛБВ с ленточными РЭП.

Рассмотренные закономерности взаимодействия РЭП с резонансной ЗС имеют в значительной степени общий характер. Качественно они справедливы и для других периодических структур с глубокой гофрировкой, имеющих более плавную форму гофра и поэтому более устойчивых к возникновению пристеночного СВЧ пробоя. Аналогичный инженерный расчет для ЗС более общего вида может быть проведен методом работы [21].

Список литературы

- [1] Ковалев Н. Ф., Петелин М. И., Райзер М. Д. и др. // Релятивистская высокочастотная электроника. Горький, 1979. С. 76–113.
- [2] Александров А. Ф., Афонин М. А., Галузо С. Ю. и др. // Релятивистская высокочастотная электроника. Проблемы повышения мощности и частоты излучения. Горький, 1981. С. 145–169.
- [3] Бугаев С. П., Канавец В. И., Климов А. И. и др. // Генераторы и усилители на релятивистских электронных потоках. М.: МГУ, 1987. С. 106–130.
- [4] Курилко В. И., Ткач Ю. В., Шендрюк В. А. // ЖТФ. 1974. Т. 44. Вып. 5. С. 956–964.
- [5] Ткач Ю. В., Файнберг Я. Б., Магда И. И. и др. // Физика плазмы. 1975. Т. 1. Вып. 1. С. 81–87.
- [6] Нечаев В. Е. // Изв. вузов. Радиофизика. 1977. Т. 20. № 4. С. 598–604.
- [7] Нечаев В. Е. // Изв. вузов. Радиофизика. 1977. Т. 20. № 5. С. 745–757.
- [8] Ткач Ю. В., Гадецкий Н. П., Блиох Ю. П. и др. // Препринт ХФТИ. № 78-32. Харьков, 1978. 28 с.
- [9] Курилко В. И., Кучеров В. И., Островский А. О. и др. // ЖТФ. 1979. Т. 49. Вып. 2. С. 2569–2575.
- [10] Богданович Л. С., Кузелев М. В., Рухадзе А. А. // ЖТФ. 1980. Т. 50. Вып. 2. С. 233–240.
- [11] Александров А. Ф., Галузо С. Ю., Канавец В. И. и др. // ЖТФ. 1980. Т. 50. Вып. 11. С. 2381–2389.
- [12] Александров А. Ф., Галузо М. Ю., Канавец В. И. и др. // ЖТФ. 1981. Т. 51. Вып. 8. С. 1727–1730.

³ Формулы (40) и (48) совпадают с результатами работы [20].

- [13] Афонин А. М., Канавец В. И., Руднев А. П. // РЭ. 1981. Т. 26. № 3. С. 647—651.
- [14] Вайнштейн Л. А. // ЖТФ. 1957. Т. 27. Вып. 10. С. 2340—2352.
- [15] Вайнштейн Л. А., Солнцев В. А. Лекции по сверхвысокочастотной электронике. М.: Сов. радио, 1973. 399 с.
- [16] Вербицкий И. Л. // Изв. вузов. Радиофизика. 1969. Т. 12. № 9. С. 1411—1421.
- [17] Вербицкий И. Л., Бузик Л. М. // РЭ. 1970. Т. 15. № 5. С. 1003—1015.
- [18] Абрамович М., Стиган И. // Справочник по специальным функциям. М.: Наука, 1979. 832 с.
- [19] Бузик Л. М. // Изв. вузов. Радиофизика. 1971. Т. 14. № 12. С. 1878—1890.
- [20] Вербицкий И. Л. // Тез. докл. X Всесоюз. научной конф. по электронике СВЧ. Минск, 1983. Т. 1. С. 226—227.
- [21] Вербицкий И. Л. // Письма ЖТФ. 1979. Т. 5. Вып. 11. С. 695—697.

Украинский заочный политехнический
институт им. И. З. Соколова
Харьков

Поступило в Редакцию
31 мая 1989 г.